



IRANIAN SOCIETY of  
CRYSTALLOGRAPHY  
and MINERALOGY

Vol. 16, No. 2, summer 1387/2008

IRANIAN JOURNAL of  
CRYSTALLOGRAPHY  
and MINERALOGY

## Preparation of SrTiO<sub>3</sub> thin films by spray pyrolysis technique and study of their structural and optical properties

N. Tajabor, M. R. Alinejad, P. Iranmanesh

*Solid State research lab, Faculty of Science, Ferdowsi University of Mashad*  
*Email: tajabor@ferdowsi.um.ac.ir*

(Received: 9/6/2007, in revised form: 4/4/2008)

**Abstract:** Strontium titanate polycrystalline thin films were prepared by sequent deposition of three TiO<sub>2</sub>/SrO/TiO<sub>2</sub> layers using spray pyrolysis technique. Deposition parameters such as: precursor solution, deposition temperature, flow rate of solution and annealing conditions were optimized to obtain homogeneous transparent films. Prepared thin films have granular microstructure. The optical transmittance and absorption spectra show that the films are absorber of the ultraviolet and transparent against visible lights. The transparency and grain size of the prepared samples increase by annealing process. The calculated optical band gap (3.38 eV) is in good agreement with the existing data.

**Keywords:** *Strontium Titanate, Thin film, Spray pyrolysis.*



## ساخت لایه‌های نازک $\text{SrTiO}_3$ به روش اسپری پایرولیز و مطالعه خواص ساختاری و اپتیکی آنها

ناصر تجبر، محمدرضا علی‌نژاد، پروانه ایرانمنش

دانشگاه فردوسی مشهد، دانشکده علوم پایه، آزمایشگاه تحقیقاتی حالت جامد

Email: tajabor@ferdowsi.um.ac.ir

(دریافت مقاله: ۱۳۸۶/۳/۱۹ ، نسخه نهایی: ۱۳۸۷/۱/۱۶)

**چکیده:** لایه‌های نازک بسیلور تیتانات استرانسیم با نشاندن سه لایه متواالی  $\text{TiO}_7/\text{SrO}/\text{TiO}_2$  به روش پایرولیز تهیه شدند. پارامترهای لایه‌نشانی، از جمله مواد اولیه، دمای بسترهای، آهنگ شارش محلول و شرایط بازپخت برای بدست آوردن لایه‌هایی همگن و شفاف، تعیین و بهینه شدند. لایه‌های نازک تهیه شده دارای ریزساختار دانه‌ای هستند. طیفهای اپتیکی تراگسیلی و در آشامی نشان دادند که لایه‌ها امواج فرابنفش را جذب می‌کنند و در برابر امواج مرئی شفاف‌اند. بازپخت لایه‌ها موجب بهبود شفافیت آنها و رشد بلور کها می‌شود. گاف نواری اپتیکی لایه‌ها پس از بازپخت ( $380 \text{ eV}$ ) اندازه‌گیری شد که با داده‌های موجود همخوانی خوبی دارد.

**واژه‌های کلیدی:** تیتانات استرانسیم، لایه نازک، اسپری پایرولیز.

لایه‌نشانی تبخیر فیزیکی [۱]، محلول شیمیایی [۲، ۳] و پرتو لیزری [۴، ۵] اشاره کرد که جملگی پرهزینه و از نظر حجم تولید، محدودیت دارند. این در حالی است که شرایط و پارامترهای اولیه روش ساخت، آثار چشمگیری بر خواص فیزیکی نمونه‌های تولید شده دارد. در این کار پژوهشی تلاش شده است تا لایه نازک بسیلور  $\text{SrTiO}_3$  به روش پایرولیز [پایرولیز] افسانه‌ای تهیه و شرایط بهینه لایه‌نشانی، خواص ساختاری و اپتیکی آن بررسی شوند. روش پایرولیز با توجه به سادگی و هزینه کم، برای تولید صنعتی لایه‌های تیتانات استرانسیم بسیار مناسب است.

### روش کار

#### الف) تهیه لایه نازک $\text{SrTiO}_3$

برای لایه‌نشانی نازک تیتانات استرانسیم، دو محلول اولیه حاوی ۰/۰۱ مول از کاتیون‌های فلزی تهیه شدند. محلول اول شامل مخلوط ایزوپروپیکساید تیتانیم و استیل استون است که  $600^\circ\text{C}$

**مقدمه**  
در چند دهه اخیر لایه‌های اکسیدی پرووسکایت با ثابت دی-الکتریک بالا توجه بسیاری را به خود جلب کرده‌اند. این اکسیدها در ساخت خازن، حافظه‌های دینامیکی قابل دسترس گستره‌ای، وسایل الکترواپتیکی و نمایشگرهای الکترولولیانی کاربرد دارند.

تیتانات استرانسیم ( $\text{SrTiO}_3$ ) ماده‌ای پارالکتریک است که در دمای اتاق ساختار بلوری پرووسکایت مکعبی دارد. ساختار این ترکیب در دماهای کمتر از  $105^\circ\text{K}$  به شکل چهارگوشی درمی‌آید. تیتانات استرانسیم از جمله مواد نافروالکتریک با ضربی شکست و ثابت دیالکتریک بالا، پایداری گرمایی و شیمیایی خوب، فعالیت نوری قابل قبول، و ظرفیت ذخیره بار بالاست [۲، ۱].

تا کنون روش‌های متعددی برای ساخت لایه نازک تیتانات استرانسیم به کار رفته است. از جمله این روش‌ها می‌توان به

$\lambda_1$  و  $\lambda_2$  که وابسته به مکان دو بیشینه (فریز تداخلی) متواالی در طیف تراگسیلی هستند و بر اساس مقادیر گزارش شده برای ضریب شکست تیتانات استرانسیم و اکسیدتیتانیم (به ترتیب ۰/۱۵ و ۰/۲۵)، ضخامت میانگینی لایه‌ها ( $t$ ) محاسبه شد.

$$t = \frac{\lambda_1 \lambda_2}{2n(\lambda_1 - \lambda_2)} \quad (1)$$

برای محاسبه گاف انرژی نواری و تعیین نوع آن، منحنی تحریب ضریب در آشامی اپتیکی لایه‌ها ( $\alpha(\lambda)$ ) با استفاده از رابطه (۲) به دست آمد:

$$\alpha(\lambda) = \frac{A}{t} \quad (2)$$

تابع A در این رابطه، طیف در آشامی فرابنفش UV اندازه-گیری شده لایه است. با فرض کوچکبودن انرژی فونونها نسبت به فوتونهای فروودی ( $h\nu$ ، رابطه ضریب در آشامی و گاف نواری اپتیکی به صورت زیر است [۷]:

$$(\alpha h\nu) = B(h\nu - E_g)^r \quad (3)$$

در این رابطه، B ثابت مستقل از انرژی،  $E_g$  گاف نواری اپتیکی و r ثابتی است که نوع گذار اپتیکی را نشان می‌دهد. مقدار r برای گذار مستقیم، غیرمستقیم، مستقیم ممنوع و غیرمستقیم ممنوع به ترتیب برابر با ۰/۵، ۰/۵ و ۳ است. دو مجهول  $E_g$  و r در رابطه (۳) باید به صورتی انتخاب شوند که منحنی ضریب جذب به دست آمده از این رابطه با منحنی تحریب ضریب جذب سازگار باشد. در عمل با انتخاب یکی از مقادیر بالا برای r، مقدار  $E_g$  از طریق برونویابی بخش خطی منحنی  $(\alpha h\nu)^{1/r}$  بر حسب  $h\nu$  تا محور انرژی ( $0 = (\alpha h\nu)^{1/r}$ ) حاصل می‌شود. اگر این مقدار  $E_g$  درست باشد، با توجه به رابطه (۳)، و در نتیجه رابطه زیر،

$$\ln(\alpha h\nu) = \ln B + r \ln(h\nu - E_g) \quad (4)$$

باید بتوان همان مقدار r مفروض را از شیب منحنی  $\ln(\alpha h\nu)$  بر حسب  $(E_g - h\nu)$  به دست آورد. با این روش، اندازه گاف انرژی نمونه‌ها تعیین شد.

استون برای رقیق‌سازی به آنها اضافه شد. محلول دوم حاوی استات استرانسیم و آب یونزدایی شده با غلظت  $3 \times 10^{-4}$  مول بر لیتر بوده است.

لایه‌نشانی به صورت تک لایه، دو لایه متواالی  $\text{TiO}_7/\text{SrO}$  و نیز سه لایه متواالی  $\text{TiO}_7/\text{SrO}/\text{TiO}_2$  انجام شد. شرایط بهینه لایه‌نشانی به روش سعی و خطا و با لایه‌نشانی هر یک از تک لایه‌های  $\text{TiO}_2$  و  $\text{SrO}$  تعیین شدند که در جدول ۱ ارائه شده‌اند. این لایه‌ها بر بسترها آلومینا و شیشه نشانده شدند. نتایج نشان داد که لایه‌های نهشته دارای چسبندگی [وشکسانی] کافی بر بسترها آلومینا نیستند، لذا در ادامه از بسترها شیشه‌ای استفاده شد. برای تهیه نمونه سه لایه‌ای، محلول اول به دو بخش مساوی تقسیم، و نیمی از آن در شرایط بهینه بر بستر شیشه‌ای افشارانه شد. پس از درنگ زمانی ۱۵ دقیقه‌ای، محلول دوم و ۱۵ دقیقه پس از آن، نیمۀ دوم محلول اول در همان شرایط لایه‌نشانی شدند. پس از لایه‌نشانی، کوره خاموش شد و لایه‌ها تا رسیدن به دمای اتاق رها شدند. سپس تعدادی از لایه‌های نشانده شده بر زیرلایه شیشه‌ای به مدت ۴۵ ساعت در دمای  $550^{\circ}\text{C}$  بازپخت شدند.

#### ب) بررسی‌های ساختاری

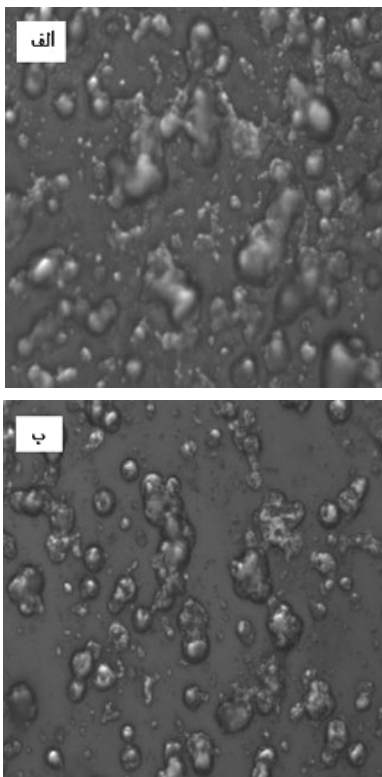
ریزساختار نمونه‌ها به وسیله میکروسکوپ نوری قطبنده و میکروسکوپ الکترونی روشنی (مدل Leo 1450 VP) بررسی شد. مطالعه ترکیب عنصری نمونه‌ها با یک طیفسنج انرژی EDX وابسته به میکروسکوپ الکترونی انجام گرفت. برای بررسی ترکیب فازی و ساختار بلوری لایه‌ها، از پراش پرتو X با تابش  $\text{Cu}-\text{K}_{\alpha}$  ( $\lambda = 0.15418 \text{ nm}$ ) استفاده شد. تحلیل طرحهای پراش نیز نرمافزار LMGP، مؤسسه Grootobel-فرانسه، انجام گرفت.

#### پ) اندازه‌گیری‌های اپتیکی

طیف اپتیکی تراگسیلی و در آشامی نمونه‌ها به ترتیب در گستره بسامدی فرابنفش تا فروسرخ نزدیک، با استفاده از طیفسنج تک باریکه (مدل Agilent 8453 HP-UV-Vis) انجام گردید. با استفاده از رابطه (۱) بر حسب دو طول موج

جدول ۱ پارامترهای بهینه لایه‌نشانی لایه نازک تیتانات استرانسیم به روش اسپری پایرولیز.

مواد اولیه	ایزوپروپکساید تیتانیم، استیل استون و استات استرانسیم
آهنگ اسپری	۶ cc/min
جنس و دمای بستر	۵۰۰ $^{\circ}\text{C}$
فشار گاز حامل	۲/۵ bar
فاصله شیپوره تا بستر	۳۶ cm



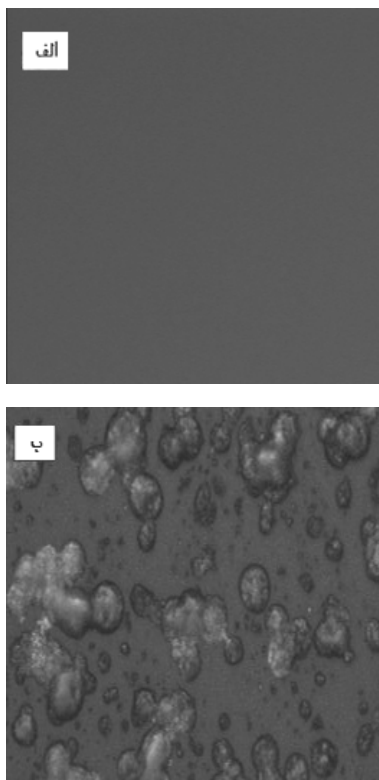
شکل ۲ تصاویر میکروسکوپ نوری لایه  $\text{TiO}_2/\text{SrO}/\text{TiO}_2$  نشانده-شده در دمای  $500^\circ\text{C}$  بر بستر شیشه‌ای (الف) پیش از بازپخت و (ب) پس از بازپخت.

از مقایسه تصاویر SEM نمونه سه‌لایه‌ای در شکل ۳ دیده می‌شود که نمونه‌ها از دانه‌های خاکستری روشن در زمینه‌ای تیره تشکیل شده‌اند. تخلخل دانه‌های نمونه بازپخت شده بیشتر است و اندازه دانه‌ها تغییر کرده است. طیف EDX این نمونه نشان داد که پس از بازپخت، لایه‌ها در هم نفوذ کرده‌اند و در تمام نقاط نمونه، عناصر Sr، Ti، و O با درصد‌های مختلفی یافت می‌شوند، در حالی که در زمینه نمونه بدون بازپخت، فقط عناصر Ti و O قابل دیده شدن. بنابراین، افزایش تخلخل با نفوذ لایه‌ها در یکدیگر همراه است. با توجه به ضعیفتر بودن پدیده نفوذ در نمونه دولایه‌ای نمونه سه‌لایه‌ای، به نظر می‌رسد که همگنی نمونه‌ها با افزایش تعداد لایه‌های متواالی بهبود می‌یابد.

الگوهای پراش پرتو X تک‌لایه‌های  $\text{SrO}$  و  $\text{TiO}_2$  در شکل ۴ نشان داده شده‌اند. این الگوها نشان می‌دهند که هر دو لایه متتشکل از یک زمینه آمورفند، که می‌تواند ناشی از بستر شیشه‌ای و یا ترکیب باشد. مشاهده شد که گرچه فاز بلوری  $\text{SrO}$  حین فرایند افسانه‌ای شکل می‌گیرد، ولی بلورکهای فاز  $\text{TiO}_2$  تنها پس از بازپخت در دمای  $550^\circ\text{C}$  رشد می‌یابند.

### بحث و بررسی

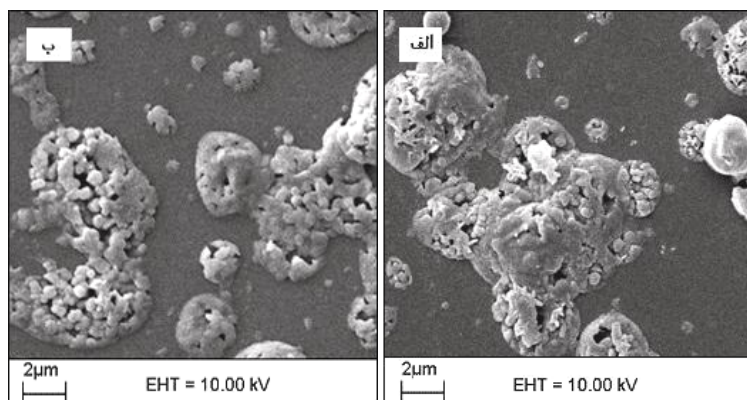
چند نمونه از تصاویر میکروسکوپ نوری لایه‌های تهیه شده در شکل‌های ۱ و ۲ نشان داده شده‌اند. دیده می‌شود که رشد نمونه لایه نازک اکسید تیتانیم به صورت رشد لایه‌به‌لایه یا روش واندرمرو<sup>۱</sup> است و حاصل، لایه‌ای کاملاً یکنواخت و شفاف است. ولی لایه نازک اکسید استرانسیم به صورت دانه‌دانه رشد یافته است که با الگوی استرانسکی - کراس‌تائف<sup>۲</sup> همخوانی دارد. توزیع دانه‌ها تقریباً یکنواخت، ولی اندازه آنها متفاوت است. بازپخت موجب تیره‌تر شدن رنگ دانه‌ها و تغییر شکل آنها می‌شود. سطح لایه‌ها پیوسته و بدون ترک خوردگی است. همچنین نمونه‌های چند لایه‌ای نیز به روش استرانسکی - کراس‌تائف رشد می‌یابند که به صورت دانه‌هایی پراکنده در زمینه اکسید‌تیتانیم است. در نمونه سه‌لایه‌ای بازپخت شده (شکل ۲)، شفافیت و اندازه دانه‌ها تغییر کرده و حالت جزیره‌ای کمتر می‌شود. بعلاوه توزیع دانه‌ها و اندازه آنها یکنواخت‌تر و شکل آنها منظم‌تر، و به شکل کروی نزدیک‌تر شده است.



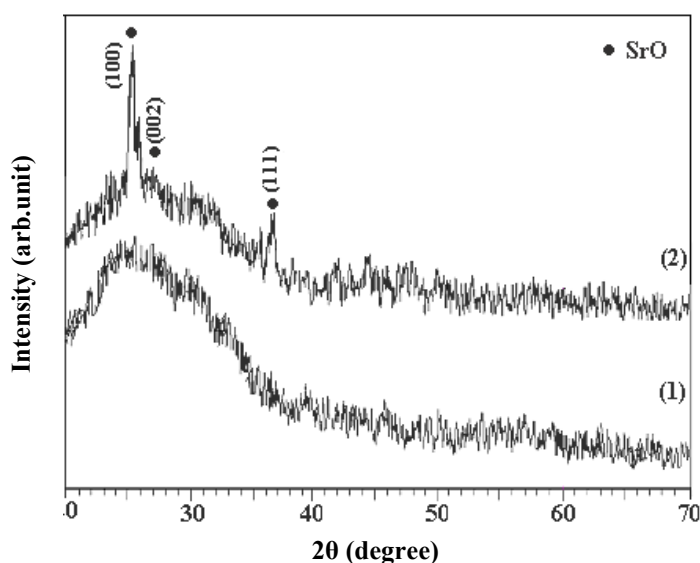
شکل ۱ تصاویر میکروسکوپ نوری لایه‌های نازک (الف)  $\text{TiO}_2$  و (ب)  $\text{SrO}$  نشانده شده در دمای  $500^\circ\text{C}$  بر بستر شیشه‌ای پس از بازپخت.

۱- اگر بستر از جنس لایه نباشد آنگاه رشد رونشستی ناهمجنس لایه‌به‌لایه یا روش واندرمرو (Vander Merve) رخ می‌دهد.

۲- روش استرانسکی - کراس‌تائف (Stranski-Krastanov)، نوع دیگر رشد رونشستی ناهمجنس است.



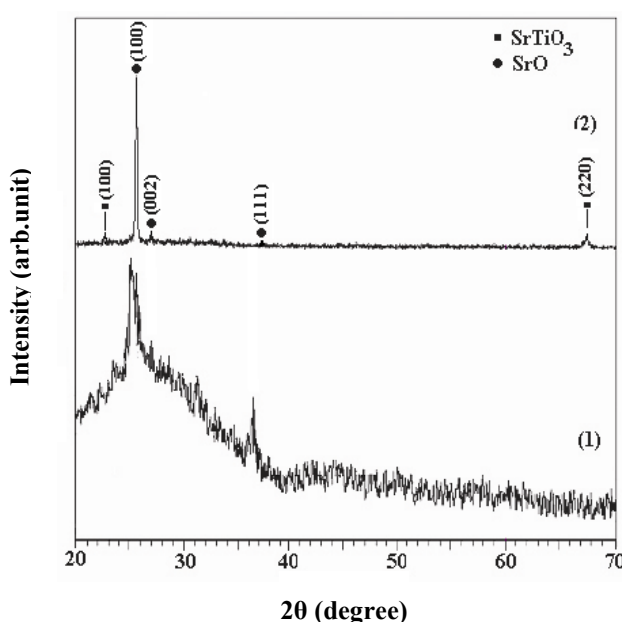
شکل ۳ تصاویر SEM نمونه  $\text{TiO}_2/\text{SrO}/\text{TiO}_2$  نشانده شده در دمای  $500^\circ\text{C}$  بر بستر شیشه‌ای (الف) پیش از بازپخت و (ب) پس از بازپخت.



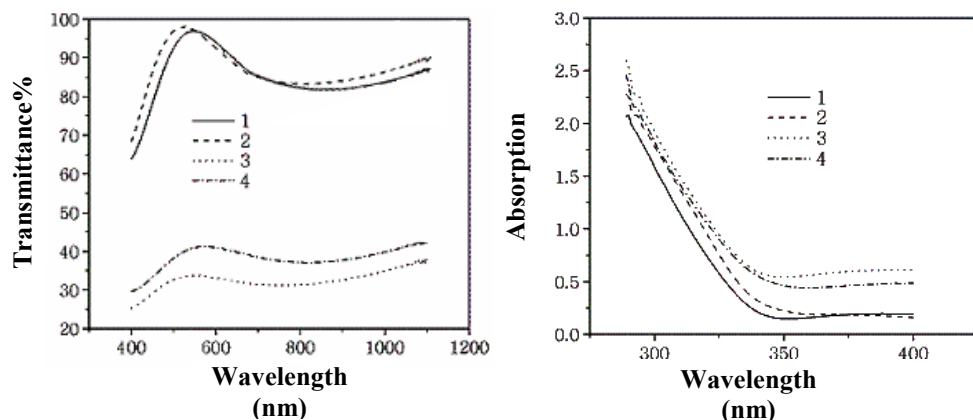
شکل ۴ طرح‌های پراش پرتو X نمونه (۱)  $\text{SrO}$  و (۲)  $\text{TiO}_2$  نشانده شده به روش اسپری پایرولیز در دمای  $500^\circ\text{C}$  بر بستر شیشه‌ای.

طیف تراگسیلی و در آشامی لایه‌ها در شکل ۶ نشان داده شده‌اند. مشاهده می‌شود که بیشینه تراگسیل در ناحیه مرئی (۴۰۰ nm تا ۸۰۰ nm) رخ می‌دهد. بازپخت موجب جایه‌جایی لبه جذب به سمت طول موجه‌های بلندتر و افزایش تراگسیل شده است که می‌تواند ناشی از بهبود ساختار بلوری، کاهش نقایص ساختاری و رشد دانه‌ها باشد. در طیف تراگسیلی نمونه‌ها (به ویژه لایه نازک  $\text{TiO}_2$ ، فریزهای تداخلی مشاهده نشدنده که ناشی از یکنواختی و همواربودن لایه‌های تهیه شده است. پس از یافتن دو مکان طول موج با بیشترین درصد تراگسیل از منحنی‌های آنها، و با استفاده از رابطه (۱)، ضخامت لایه‌ها برآورد شد که نتایج حاصل در جدول ۲ ارائه شده‌اند.

در طرح پراش نمونه سه لایه‌ای بازپخت شده در شکل ۵، فاز تیتانات استرانسیم مشاهده شد. برای این ترکیب، ساختار مکعبی با گروه فضایی  $\text{Pm}^3\text{m}$  و پارامتر شبکه‌ای  $a = 3.93 \text{ \AA}$  تأیید شد که برآش خوبی با گزارش‌های موجود دارد [۸]. شاخص‌های میلر وابسته به دستهٔ صفحات بلوری این ساختار، روی قله‌های پراش مشخص شده‌اند. علاوه بر فاز  $\text{SrTiO}_3$ ، ذرات نسبتاً درشت‌تر فاز  $\text{SrO}$  نیز در این نمونه حضور دارند. اما، فازهای دوتایی پراکنده مثل  $\text{Sr}_x\text{Ti}_2\text{O}_7$  و  $\text{Sr}_x\text{Ti}_2\text{O}_6$  مشاهده نشدنده [۹]. انتظار می‌رود که با افزایش دمای بازپخت و نیز تعداد لایه‌های متوالی نهشتة، ناشی از اثرهای رشد دانه‌ای، بلورکهای فاز  $\text{SrTiO}_3$  رشد کرده و نمونه تک فاز شود.



شکل ۵ طرح‌های پراش پرتو X نمونه  $\text{TiO}_2/\text{SrO}/\text{TiO}_2$  نشانده شده به روش اسپری پاکولیز در دمای  $500^\circ\text{C}$  بر بستر شبشهای (۱) پیش از بازپخت و (۲) پس از بازپخت.



شکل ۶ منحنی‌های جذب و تراگسیل نمونه‌های (۱)  $\text{TiO}_2$ ، (۲)  $\text{TiO}_2$  بازپخت شده، (۳)  $\text{TiO}_2/\text{SrO}/\text{TiO}_2$  و (۴)  $\text{TiO}_2/\text{SrO}/\text{TiO}_2$  بازپخت شده.

جدول ۲ خاصیت برآورد شده نمونه‌های مختلف.

$t$ (nm)	نمونه لایه نازک
۲۱۶	$\text{TiO}_2$
۲۰۱	$\text{TiO}_2$ بازپخت شده
۲۶۱	$\text{TiO}_2/\text{SrO}/\text{TiO}_2$
۲۷۶	$\text{TiO}_2/\text{SrO}/\text{TiO}_2$ بازپخت شده

آمده با مقادیر تجربی گزارش شده همخوانی خوبی دارند [۱۱ تا ۲۱].

نتایج حاصل را می‌توان با توجه به شرایط لایه‌نشانی، به ویژه دمای بستر و بازپخت توضیح داد. رادیکالهای  $\text{O}-\text{Ti}-\text{O}$  حین

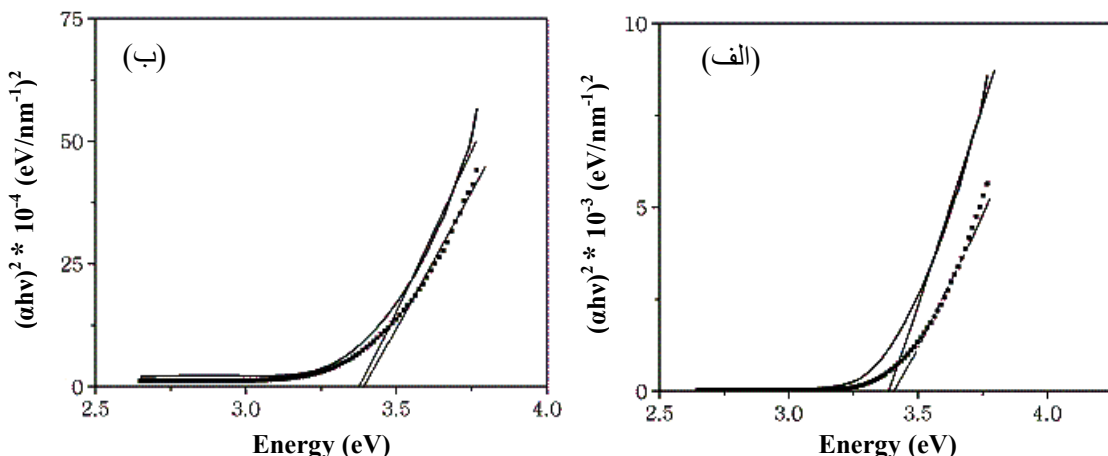
گاف نواری نمونه‌ها پس از بازپخت با استفاده از روابط (۲) و (۳) محاسبه شد که نتایج حاصل در جدول ۳ دیده می‌شوند. گاف نواری محاسبه شده برای تمام نمونه‌ها گذار مستقیم (شکل‌های ۷ و ۸) را تأیید می‌کند. نتایج به دست

در شرایط مناسب لایه‌نشانی، رادیکالهای جذب شده در سطح بستر، انرژی جنبشی سطحی لازم برای تشکیل ساختار بلوری پایه به دست می‌آید. بدینهی است که بازپخت در دمای مناسب موجب جوش سطحی بلورک‌های تشکیل شده در این مرحله و رشد آنها و در نتیجه همگنی بیشتر لایه مورد نظر خواهد شد.

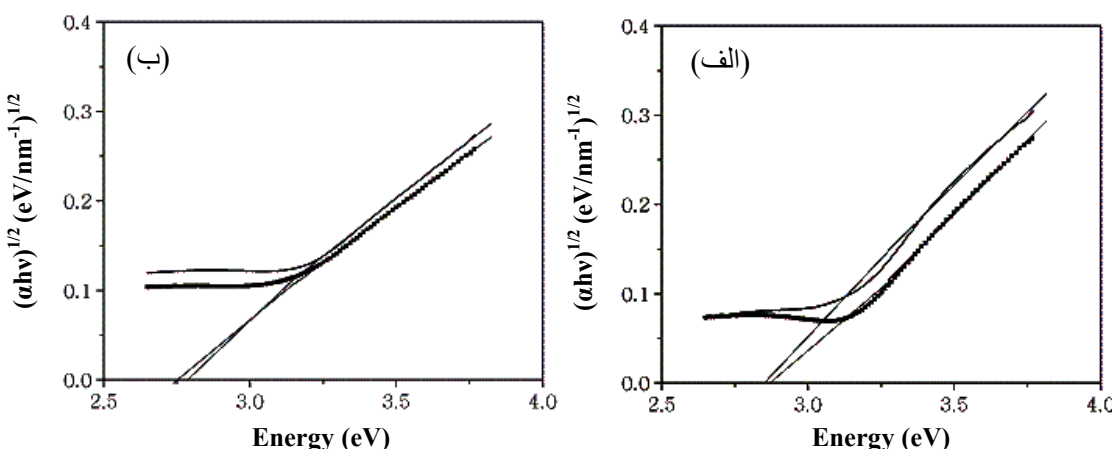
رسیدن قطره‌های محلول حاوی مواد اولیه به سطح بستر تشکیل می‌شوند. این رادیکالها به سطح بستر جذب شده و تنها در دمای مناسب بستر تجزیه می‌شوند، توجه به این نکته اهمیت دارد که دمای بستر باید به گونه‌ای تنظیم شود که قطره‌های محلول پیش از رسیدن به سطح بستر تبخیر نشوند.

جدول ۳ نتایج اندازه‌گیری گاف نواری نمونه‌ها در مقایسه با بعضی از مراجع ذکر شده.

شماره مرجع	$E_g$ (eV)	نمونه لایه نازک
	۲,۳۹۳	$\text{TiO}_2$
	۲,۳۴۱	$\text{TiO}_2$ بازپخت شده
[۱۱، ۶]	۲,۴	$\text{TiO}_2$
	۲,۳۸۴	$\text{TiO}_7/\text{SrO}/\text{TiO}_2$
	۲,۳۹۴	$\text{TiO}_7/\text{SrO}/\text{TiO}_2$ بازپخت شده
[۱۰، ۷]	۳,۴۳	$\text{SrTiO}_3$ (روش سل-زل)



شکل ۷ منحنی‌های تأیید کننده گذار مستقیم در نمونه‌های (الف)  $\text{TiO}_7/\text{SrO}/\text{TiO}_2$  و (ب)  $\text{TiO}_2$  (خط چین مربوط به نمونه پس از بازپخت است).



شکل ۸ منحنی‌های گذار غیرمستقیم در نمونه‌های (الف)  $\text{TiO}_7/\text{SrO}/\text{TiO}_2$  و (ب)  $\text{TiO}_2$  (خط چین مربوط به نمونه پس از بازپخت است).

- [9] S. Sturm, A. Recnik, M. Ceh, "Nucleation and growth of planer faults in sro-excess  $SrTiO_3$ ", Journal of European Ceramic Society 21 (2001) pp. 2141-2144.
- [10] M.O. Abou-Helal, W.T. Seeber, "Preparation of  $TiO_2$  thin films by spray pyrolysis to be used as a photocatalyst", Applied Surface Science 195 (2002) pp.53-62.
- [11] R. Thomas, D. C. Du, M. N. Kamalasanan, S. Chandra, A. S. Bhalla, "Structural, electrical, and low-temperature dielectric properties of sol-gel derived  $SrTiO_3$  thin films", J. Appl. Phys. 82 (1997) pp. 4484-4488.

### برداشت

لایه‌های نازک  $SrTiO_3$  به صورت لایه‌نشانی سه مرحله‌ای لایه-های  $TiO_2/SrO/TiO_2$  به روش [پیرولیز] افشارهای پایرولیز ساخته شدند. نمونه‌های تهیه شده بسیار با ساختار دانه‌ای هستند. گرچه لایه نازک حاصل تکفاراز نیست، ولی پیش‌بینی می‌شود که بازپخت در دماهای بالاتر از  $550^{\circ}C$  و افزایش تعداد لایه‌های متوالی نهشته، موجب تکفاراز شدن نمونه شود. نتایج اندازه‌گیری‌های اپتیکی نشان می‌دهند که شفافیت نمونه‌ها در گسترهٔ مسئی پس از بازپخت بهبود می‌یابد. ضخامت لایه‌ها در حدود  $200\text{ nm}$  تا  $300\text{ nm}$  است و گاف نواری آنها با مقدار گزارش شده ( $3/4\text{ eV}$ ) مطابقت دارد، و نیز بررسی‌های انجام‌شده، گذار مستقیم از نوار ظرفیت به نوار رسانش را تأیید می‌کند.

### مراجع

- [1] T. Hiibert, U. Beck, H. Kleinke, "Amorphous and nanocrystalline  $SrTiO_3$  thin films", J. of Non-Crystalline Solids 196 (1996) pp. 150-154.
- [2] G. Brankovic, Z. Brankovic, J.A. Varela, E. Longo, "Strontium titanate prepared by spray pyrolysis", J. of the European Ceramic Society 24 (2004) pp. 989-991.
- [3] F. M. Pontes, E. R. Leite, E. J. H. Lee, E. Longo, J. A. Varela, "Preparation, microstructural and electrical characterization of  $SrTiO_3$  thin films prepared by chemical route", Journal of the European Ceramic Society 21 (2001) pp. 419-426.
- [4] G. M. Rae, S. B. Krupanidhib, "Study of electrical properties of Used excimer laser deposited strontium titanate films", J. Appl. Phys. 75 (1994) pp. 2604-2611.
- [5] B. G. Almeida, A. Pietka, J. A. Mendes, "Infrared characterization of strontium titanate thin films", Applied Surface Science 238 (2004) pp. 395-399.
- [6] L. Castañeda, J.C. Alonso, A. Ortiz, E. Andrade, "Spray pyrolysis deposition and characterization of titanium oxide thin films", Materials Chemistry and Physics 77 (2002) pp. 938-944.
- [7] M. N. Kamalasanan, N. Deepak Kumar, S. Chandra, "Structural, optical, and dielectric properties of sol-gel derived  $SrTiO_3$  thin films", J. Appl. Phys. 74 (1993) pp. 679-686.
- [8] S. Saha, T. P. Sinha, A. Mookerjee, "Structural and optical properties of paraelectric  $SrTiO_3$ ", J. Phys. Condens. Matter 12 (2000) pp. 3325-3336.